

Цветомагнитные монополи в решеточной КХД при конечной температуре

В.Г. Борняков

Институт Физики Высоких Энергий, Протвино
и

Институт Теоретической и Экспериментальной Физики, Москва

Дубна 18.07.12

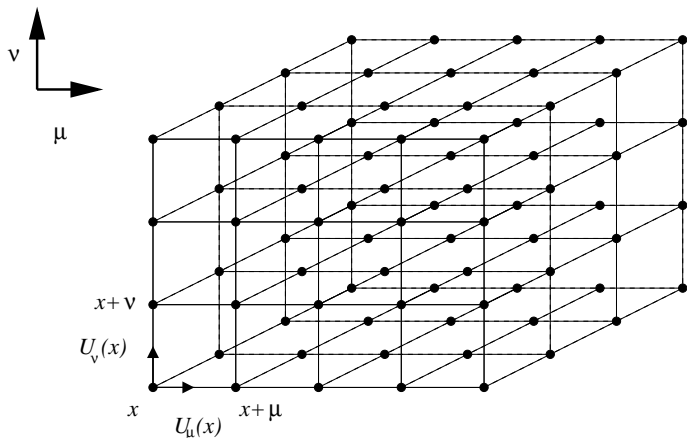
Соавторы:

Брагута В. (ИФВЭ и ИТЭФ), Кононенко А. (ОИЯИ и МГУ),
Митрюшкин В. (ОИЯИ и ИТЭФ)

Мотивация:

- вычисление температуры перехода в КХД
- свойства термальных монополей в фазе кварк-глюонной плазмы в КХД

Компьютерные симуляции калибровочных теорий в решеточной регуляризации - непертурбативный метод вычислений, не использующий неконтролируемых приближений



$$A_\mu(x) \rightarrow U_{x,\mu} \in SU(3)$$

$$\int \mathcal{D}\psi \mathcal{D}\bar{\psi} e^{\bar{\psi}M(U)\psi} = \det M(U)$$

$$\int \mathcal{D}\psi \mathcal{D}\bar{\psi} \bar{\psi}_y^a \psi_x^b e^{\bar{\psi}M(U)\psi} = (M_{x,y}^{-1}(U))^{ab} \det M(U)$$

$$\langle \mathcal{O} \rangle = \frac{1}{\mathcal{Z}} \int \mathcal{D}U \mathcal{O}(U) e^{-S_{\text{eff}}(U)},$$

$$\mathcal{Z} = \int \mathcal{D}U e^{-S_{\text{eff}}(U)},$$

$$S_{\text{eff}}(U) = S_W^G(U) - N_f \ln \det M(U),$$

$$\mathcal{D}U = \prod_{x,\mu} dU_\mu(x),$$

$$\langle \mathcal{O} \rangle \approx \frac{1}{N} \sum_{i=1}^N \mathcal{O}_i(U),$$

Одна из популярных моделей конфайнмента - дуальный сверхпроводник

т' Хуфт '75, Мандельстам '76

Конфайнмент в КХД - следствие конденсации монополей

Эффективная теория - дуальная абелевая модель Хиггса (дуальный сверхпроводник)

Трубка цветного потока между тяжелыми кварками - дуальный аналог струны Абрикосова-Нильсена-Олесена

Проблема: в КХД нет монопольных решений

Решение (т' Хуфт '81):

Частичная фиксация калибровки

$$SU(N) \rightarrow U(1)^{N-1}$$

$g(x)$ определяется диагонализацией $\Phi(x)$:

$$\Phi'(x) = g(x)\Phi(x)g^\dagger(x)$$

Примеры $\Phi(x)$: $F_{12}(x); L(x)$

Можно определить тензор $f_{\mu\nu}$ абелевого поля аналогично случаю модели с полем Хиггса

Калибровочное поле в окрестности сингулярностей калибровки имеет вид монополя

КХД переходит в теорию с монополями, 'фотонами' и заряженными полями материи - недиагональные глюоны и кварки

Все успехи этой идеи связаны с максимальной абелевой калибровкой
для калибровочной группы $SU(2)$

$$\sum_I \left(\partial_\mu \delta_{kl} + \epsilon_{k3l} A_\mu^3(x) \right) A_\mu^I(x) = 0, \quad k = 1, 2$$

экстремумы (по $\textcolor{blue}{g}$) функционала $F_{\text{MAG}}[A^g]$

$$F_{\text{MAG}}[A] = \frac{1}{V} \int d^4x \left\{ [A_\mu^1(x)]^2 + [A_\mu^2(x)]^2 \right\}$$

Абелевая проекция:
замена $A_\mu^a(x) T^a \rightarrow A_\mu^3(x) T^3$

на решетке

$$F(U) = \frac{1}{V} \sum_{x,\mu} \text{Tr} \left(U_\mu(x) \sigma_3 U_\mu^\dagger(x) \sigma_3 \right), \quad U_\mu(x) \rightarrow u_\mu(x) \in U(1)$$

Гипотеза абелевой доминантности

Ezawa,Iwazaki '82

физические величины, связанные с инфракрасными свойствами теории, могут быть вычислены приближенно с помощью операторов построенных только из абелевых переменных

$$\langle \mathcal{O} \rangle = \frac{1}{\mathcal{Z}} \int e^{-s} \mathcal{O}(U_\mu) \mathcal{D}U_\mu(s)$$

$$\langle \mathcal{O} \rangle^{Ab} = \frac{1}{\mathcal{Z}} \int e^{-s} \mathcal{O}(u_\mu) \mathcal{D}U_\mu(s)$$

дают значения для физических величин, характеризующих инфракрасное поведение теории, совпадающие между собой с хорошей точностью.

Непертурбативная фиксация калибровки

Если нет грибовских копий

$$\langle \mathcal{O} \rangle = \frac{1}{Z} \int D\mathbf{U} e^{-S(\mathbf{U})} \mathcal{O}(\mathbf{U}^{g^*})$$

где \mathbf{U}^{g^*} - решение уравнения $f(\mathbf{U}) = 0$.

Йона-Лазинио-Парринелло'90, Цванцигер'90:

$$Z = \int D\mathbf{A} e^{-S(\mathbf{A})} I^{-1}(\mathbf{A}) \int D\mathbf{g} e^{-\lambda F(\mathbf{A}^g)}$$

$$I(\mathbf{A}) = \int D\mathbf{g} e^{-\lambda F(\mathbf{A}^g)}$$

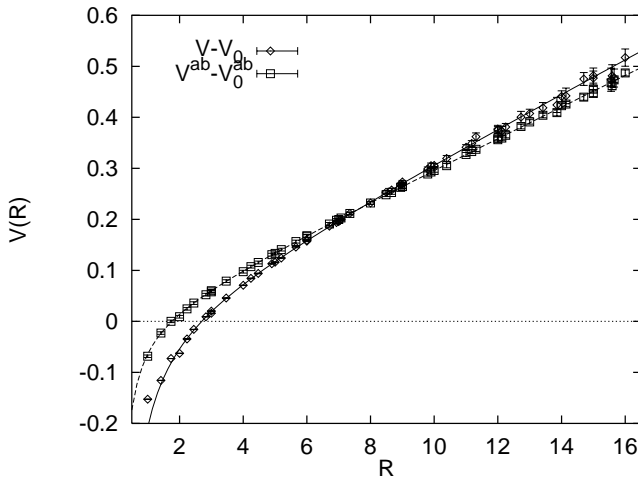
λ - калибровочный параметр

Вакуумное среднее

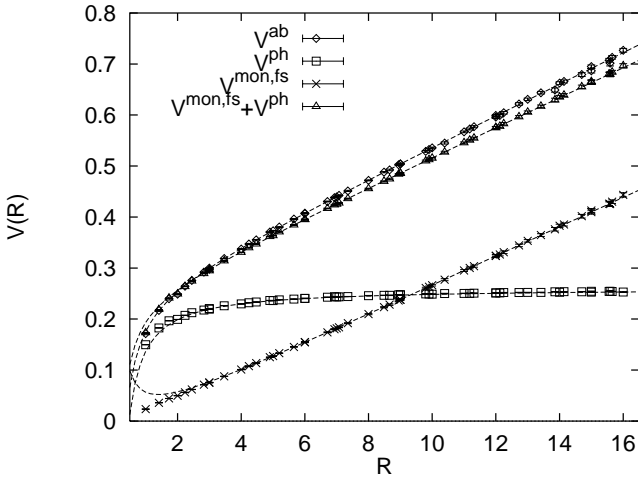
$$\langle \mathcal{O} \rangle = \frac{1}{Z} \int D\mathbf{A} e^{-S(\mathbf{A})} I^{-1}(\mathbf{A}) \int D\mathbf{g} e^{-\lambda F(\mathbf{A}^g)} \mathcal{O}(\mathbf{A}^g)$$

В пределе $\lambda \rightarrow \infty$ $\int D\mathbf{g} \rightarrow$ сумма по глоб. мин. $F(\mathbf{A}^g)$

Абелевая и монопольная доминантность в $SU(2)$ решеточной
калибровочной теории



Абелевый и неабелевый потенциалы. Бали, ВБ, Мюллер-Пройскер,
Шиллинг, 1996



Абелевый потенциал в сравнении с фотонным, монопольным и их суммой

Результаты:

$$\sigma^{ab}/\sigma = 0.92(4)$$

$$\sigma^{mon}/\sigma^{ab} = 0.95(2)$$

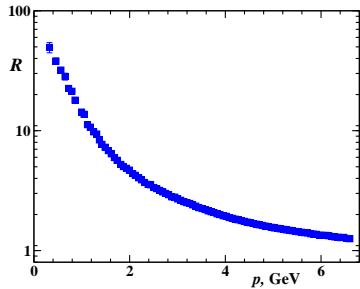
$$\sigma^{ab,2}/\sigma^{ab} = 2.23(5)$$

σ^{ab}/σ вычислено в пределе снятия обрезания

σ^{ab}/σ вычислено для другого решеточного действия, проверена универсальность абелевой доминантности

обнаружена доминантность пропагатора диагонального глюона в ИК области

$$\frac{D_{diag}(p_{min})}{D_{offdiag}(p_{min})} = 50(5), \quad p_{min} = 325 \text{ МэВ}$$



Отношение поперечных диагонального и недиагонального формфакторов

В.Б. Морозов, Поликарпов, 2002

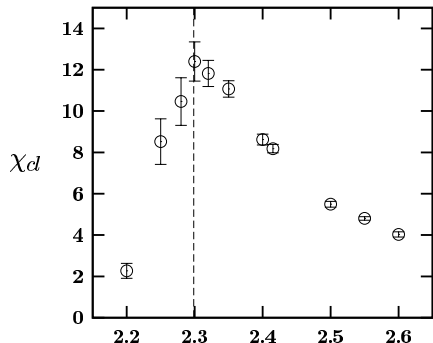
Свойства монопольных кластеров

$$j_\mu \equiv \frac{1}{4\pi} \epsilon_{\mu\nu\rho\sigma} \partial_\nu \bar{\Theta}_{\rho\sigma} = -\frac{1}{2} \epsilon_{\mu\nu\rho\sigma} \partial_\nu m_{\rho\sigma}$$

ВБ, Митрюшкин, Мюллер-Пройскер, 1992

Конденсация монополей означает перколяцию монопольного кластера

Первый результат, демонстрирующий перколяционный переход при конечной температуре T , совпадающей с T_c :



Абелева и монопольная доминантность в решеточной SU(3) глюодинамике и в решеточной КХД

DIK (DESY-ITEP-Kanazawa) коллаборация, 2001 :

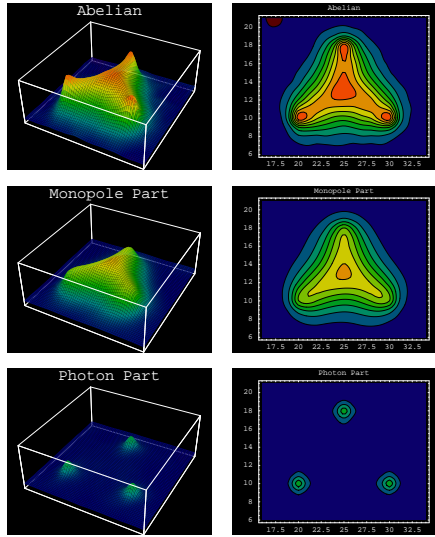
Обобщение подхода, использованного в SU(2) глюодинамике на
случай SU(3)

Впервые абелева и монопольная доминантность исследовалась в
РКХД ($N_f = 2$)

Впервые в абелевой проекции изучалась структура адронной
струны между статическими кварком и антикварком

Результаты:

m_π/m_ρ	σ_{ab}/σ	σ_{mon}/σ_{ab}	δ, Φ_M	λ, Φ_M
0.60(1)	0.89(4)	0.80(4)	0.29(1)	0.15
-	0.83(3)	0.84(3)	0.29(1)	0.17



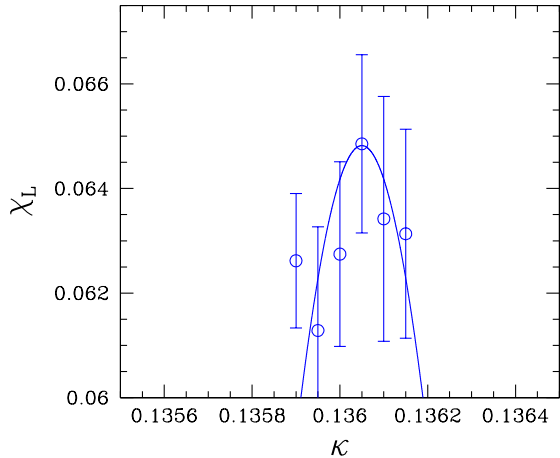
Абелевая плотность действия в 3-х кварковой системе в РКХД

DIK коллаборация

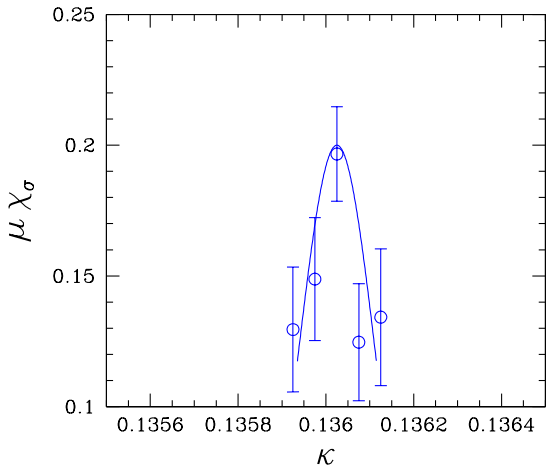
- $N_f = 2$ решеточная КХД при $T > 0$
- Решеточное действие:
- Вильсоновское действие для калибровочного поля
- Улучшенное вильсоновское фермионное действие

$$S_F = S_F^{(0)} - \frac{i}{2} \kappa g c_{sw} a^5 \sum_s \bar{\psi}(s) \sigma_{\mu\nu} F_{\mu\nu}(s) \psi(s)$$

- Lattice size $12 \times (32)^3$

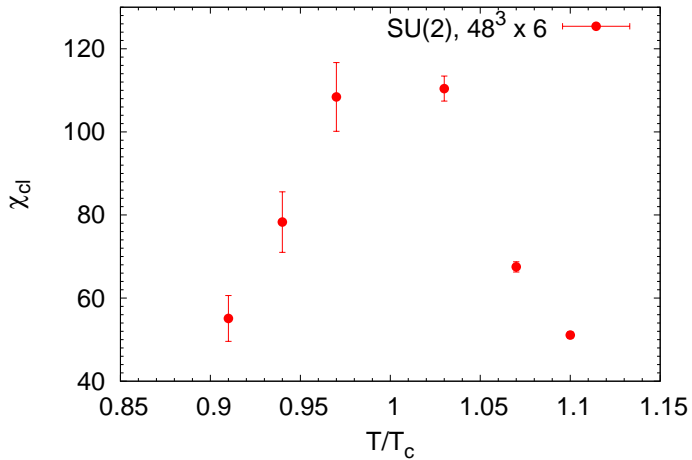


Восприимчивость для поляковской петли. DIK, $32^3 \times 12$

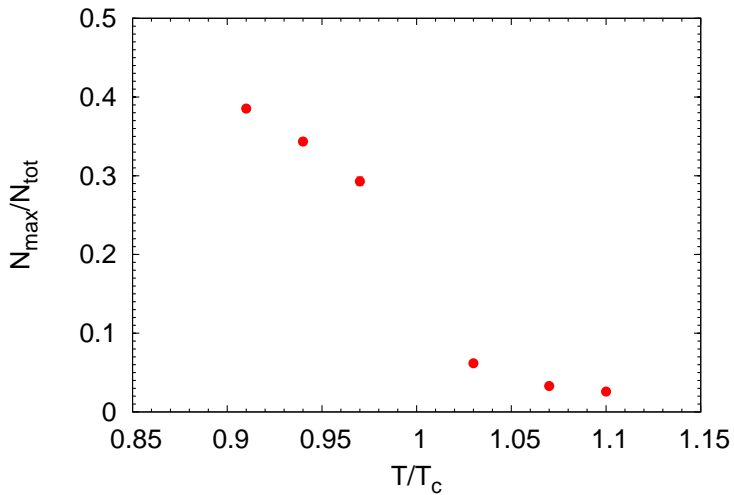


Восприимчивость для кирального конденсата. DIK, $32^3 \times 12$

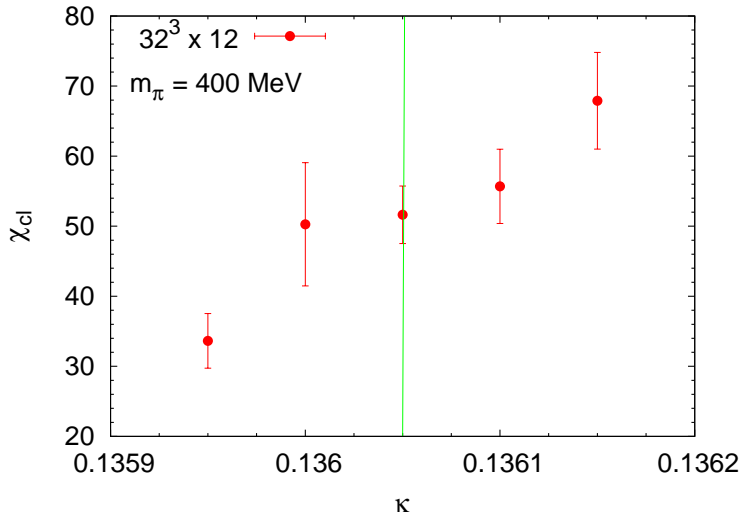
I. Окрестность фазового перехода

Результаты для $SU(2)$, решетка $48^3 \times 6$ 

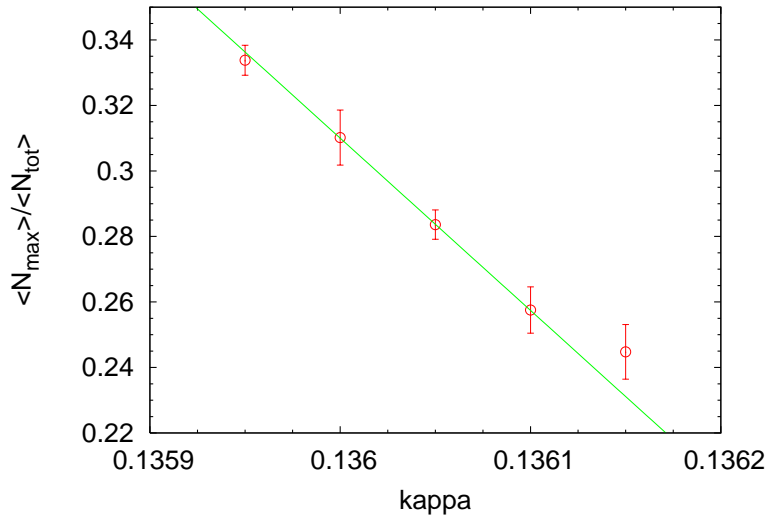
Восприимчивость для переколирующего кластера



Отношение размера максимального кластера к полному числу монополей

Результаты для КХД, решетка $32^3 \times 12$ 

Восприимчивость для переколирующего кластера



Отношение размера максимального кластера к полному числу монополей

$$N_{wr} = \frac{1}{L_t} \sum_{j_4(x) \in cluster} j_4(x)$$

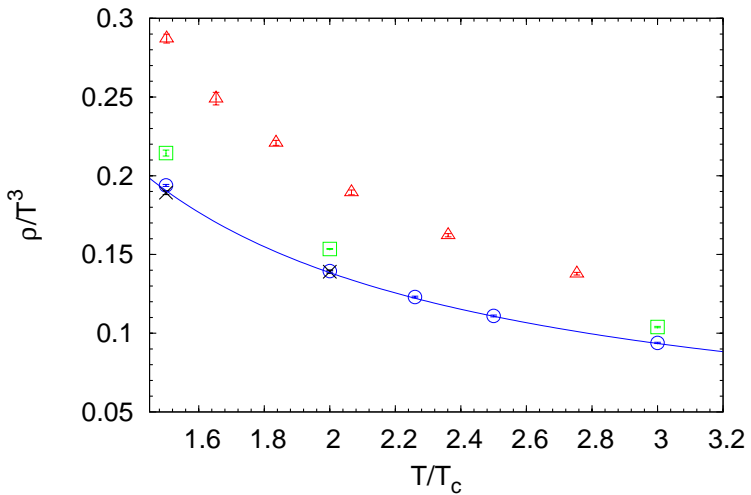
$$\rho = \frac{\langle \sum_{clusters} |N_{wr}| \rangle}{L_s^3 a^3}$$

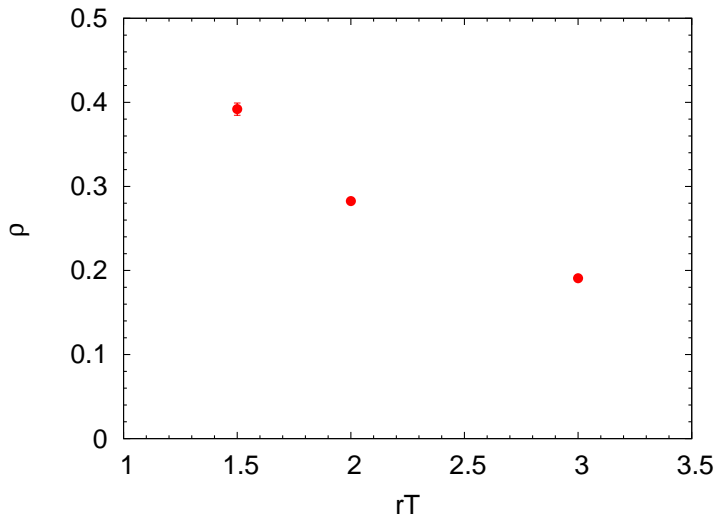
$$g_{MM}(r) = \frac{\langle \rho_M(0)\rho_M(r) \rangle}{\rho_M^2} + \frac{\langle \rho_A(0)\rho_A(r) \rangle}{\rho_A^2}$$

$$g_{AM}(r) = \frac{\langle \rho_A(0)\rho_M(r) \rangle}{\rho_A \rho_M} + \frac{\langle \rho_M(0)\rho_A(r) \rangle}{\rho_A \rho_M}$$

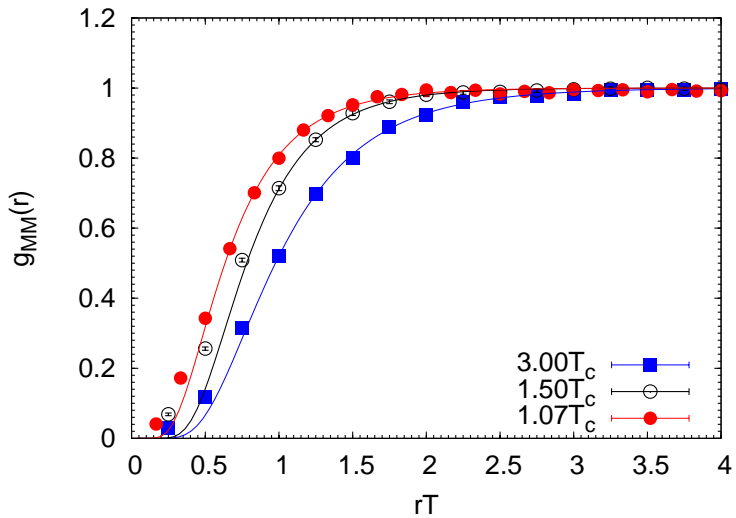
$$g_{MM,AM}(r) = e^{-V(r)/T}$$

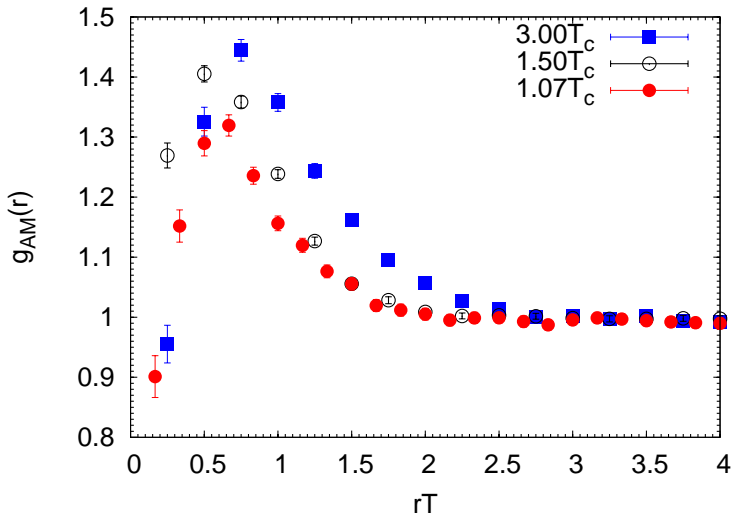
$$V(r) = \frac{\alpha_m}{r} e^{-m_D r}$$

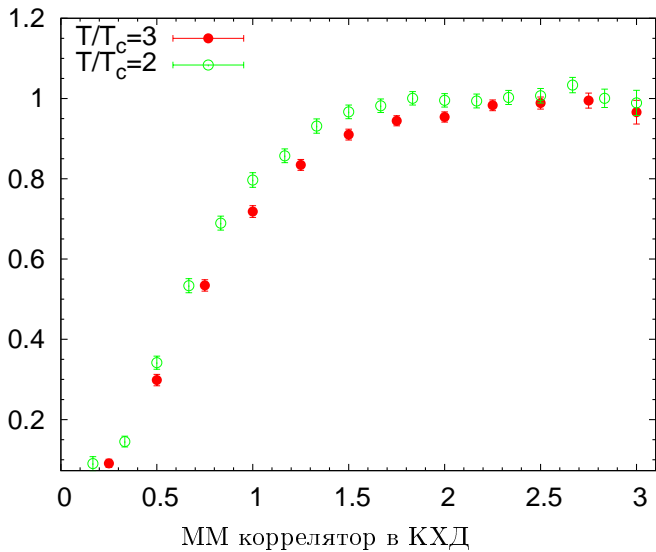
Плотность термальных монополей в $SU(2)$

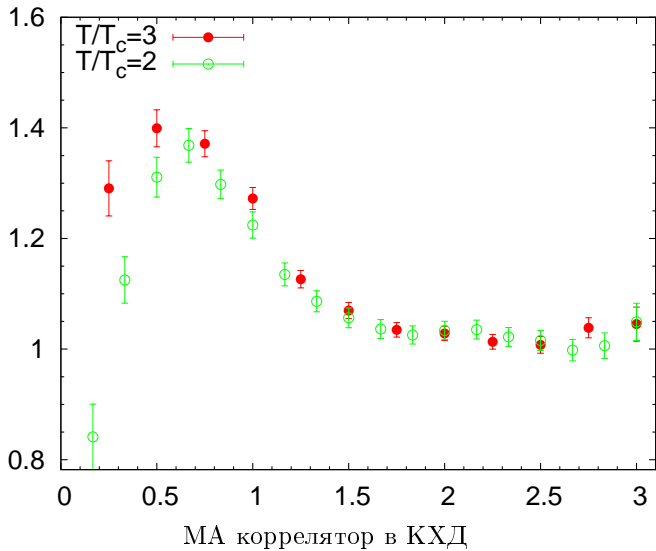


Плотность термальных монополей в КХД

ММ коррелятор в $SU(2)$

МА коррелятор в $SU(2)$





МА коррелятор в КХД

